

# ВОЗНИКНОВЕНИЕ КОНВЕКЦИИ СЛАБОПРОВОДЯЩЕЙ ЖИДКОСТИ В МОДУЛИРОВАННОМ ТЕПЛОВОМ ПОЛЕ

*Б. Л. Смородин\**

*Пермский государственный университет  
614600, Пермь, Россия*

Поступила в редакцию 20 июля 2001 г.

Исследована устойчивость слабопроводящей жидкости в постоянном электрическом поле горизонтального конденсатора под действием переменного градиента температуры. Считается, что свободные заряды в жидкости образуются только благодаря неоднородной электропроводности жидкости. Для определения порогов конвекции использована теория Флоке. Определены границы неустойчивости и характеристики критических возмущений. Кроме синхронного и субгармонического отклика на внешнее воздействие неустойчивость может быть связана с квазипериодическими возмущениями. С помощью асимптотического метода рассмотрен низкочастотный предел модуляции. Представлены зависимости критического электрического числа Рэлея от обратной частоты и степени нагрева.

PACS: 47.65.+a

## 1. ВВЕДЕНИЕ

Исследование электротермической конвекции представляет интерес в связи с возможностью управления конвекцией в жидких диэлектриках и влияния на тепло- и массоперенос в высоковольтных устройствах. С другой стороны, действие электрических полей на движение жидкости может быть использовано для конструирования электрогидродинамических преобразователей энергии, осуществляющих прямое превращение энергии электрического поля в кинетическую энергию движущейся жидкости.

Электрическое поле может сильно влиять на конвективные движения слабопроводящих жидкостей благодаря действию специфических электроконвективных механизмов неустойчивости [1]. Диэлектрфоретический механизм неустойчивости связан с неоднородностью диэлектрической проницаемости. Влияние неоднородной поляризации на устойчивость жидкого диэлектрика в постоянном электрическом поле исследовано для случаев горизонтального [2] и вертикального конденсаторов [3]. Два других механизма неустойчивости связаны с накапливающимися в жидкости свободными зарядами, которые

возникают либо благодаря инъекции заряда, либо из-за градиента электропроводности, существующего в неравномерно нагретой жидкости. Объемный заряд взаимодействует с электрическим полем, приводя к движению жидкости. Конвекция слабопроводящих жидкостей в постоянном электрическом поле, обусловленная электрокондуктивным механизмом, исследована экспериментально [4, 5]. При теоретическом анализе [5, 6] инъекция зарядов и неоднородная поляризация среды не рассматривались. Такой подход оправдан тем, что пороговое напряжение, начиная с которого инъекционный механизм зарядообразования в жидкости существенно влияет на устойчивость равновесия, превосходит используемые в экспериментах разности потенциалов на границах слоя [7]. Кроме того, у использованных в экспериментах жидкостей электропроводность намного сильнее зависит от температуры, чем диэлектрическая проницаемость. В результате исследования обнаружены и изучены колебательные режимы электроконвекции диэлектрика в горизонтальном конденсаторе, проанализировано влияние времени релаксации электрического заряда на динамику конвективной системы.

С другой стороны, наличие модулированного параметра в механической системе сильно влияет на ее устойчивость [8, 9] и может быть использовано

\*E-mail: smorodin@psu.ru

для управления конвективными движениями в различных технологических ситуациях. Вибрации, переменные электрические поля или градиенты температуры представляют собой важные примеры периодического воздействия на механические системы и, в частности, жидкости. Классическим примером изменения устойчивости равновесия в вибрационном поле является маятник Капицы [10].

Проблема влияния модуляции температуры на границах слоя жидкости на его конвективную устойчивость рассматривалась в [11, 12]. Были обнаружены два типа критических возмущений: возмущения первого типа изменяются синхронно с внешним воздействием, возмущения второго совершают колебания с половинной частотой. Параметрическое возбуждение термоэлектрической неустойчивости под действием тепловой волны в жидких полупроводниках или ионных расплавах исследовано в [13]. Электроконвективная неустойчивость неоднородно нагретой диэлектрической жидкости под действием переменного электрического поля изучена для случаев, когда зарядообразование в жидкости связано либо с диэлектрфорезом [14], либо с электропроводностью [15].

Данная работа посвящена исследованию неустойчивости слабопроводящей жидкости в постоянном электрическом поле плоского конденсатора под воздействием периодического градиента температуры. Кроме синхронного и субгармонического откликов на внешнее воздействие неустойчивость может быть связана с квазипериодическими возмущениями. Показано, что области резонансной неустойчивости возникают на частотах, связанных с частотой нейтральных колебательных возмущений слабопроводящей жидкости в постоянных полях.

## 2. ПОСТАНОВКА ЗАДАЧИ

Рассмотрим слабопроводящую жидкость, заполняющую плоский конденсатор. Будем считать, что на идеально тепло- и электропроводящих обкладках, имеющих координаты  $z = \pm h$  ( $h$  — полутолщина слоя), поддерживаются различные постоянные потенциалы

$$\varphi(\pm h) = \mp U$$

и различные температуры, изменяющиеся по закону

$$T(\pm h) = \mp \Theta(\eta_1 + \eta_2 \cos \Omega t).$$

Здесь  $\Theta$ ,  $\eta_1$  и  $\eta_2$  — характерный масштаб температуры и относительные амплитуды постоянной и переменной компонент разности температур между гра-

ницами. В нашем случае  $\eta_2$  изменяется непрерывно,  $\eta_1$  принимает два значения:  $\eta_1 = 0$  для переменной разности температур и  $\eta_1 = 1$  для модуляции на постоянном фоне.

Электрическую силу, действующую на единицу объема жидкости, можно записать в виде [16]

$$f_e = \rho_e \mathbf{E} - \frac{1}{2} E^2 \nabla \varepsilon + \frac{1}{2} \nabla \left( \rho \frac{\partial \varepsilon}{\partial \rho} E^2 \right). \quad (1)$$

Здесь  $\varepsilon$  — диэлектрическая проницаемость жидкости,  $\rho_e$  — свободный заряд единицы объема,  $\mathbf{E}$  — напряженность электрического поля.

Последнее слагаемое в (1) имеет градиентный вид и приводит лишь к переопределению давления. Вторая (диэлектрфоретическая) часть электрической силы, связанная с неоднородностью диэлектрической проницаемости  $\varepsilon$ , несущественна. Такой подход оправдан в случае, когда неоднородность электропроводности, связанная с градиентом температуры, намного больше, чем неоднородность диэлектрической проницаемости. В нашем рассмотрении используется электрогидродинамическое приближение, в котором электрические эффекты велики по сравнению с магнитными. Для слоев толщиной меньше  $10^{-1}$  м это приближение оправдано, если частота модуляции электрического поля меньше  $10^9$  рад/с и проводимость жидкости удовлетворяет условию  $\sigma \ll 10^{-1} (\text{Ом} \cdot \text{м})^{-1}$  [17]. Для жидкостей с очень низкой электропроводностью,  $\sigma \sim 10^{-11} - 10^{-9} (\text{Ом} \cdot \text{м})^{-1}$  (трансформаторное, конденсаторное или кукурузное масла), роль индуцируемых магнитных полей оказывается действительно пренебрежимо малой в широком диапазоне частот. Будем полагать, что электропроводность жидкости линейно растет с температурой:

$$\sigma = \sigma_0(1 + \beta_\sigma T),$$

где  $\beta_\sigma$  — температурный коэффициент электропроводности, в общем случае положительный.

Используем безразмерные переменные на базе масштабов: длины —  $h$ , времени —  $h^2/\nu$ , скорости —  $\chi/h$ , температуры —  $\Theta$ , давления —  $\rho_l \nu \chi / h^2$ , потенциала —  $U$ , поля —  $U/h$ , плотности заряда —  $\varepsilon U / h^2$  (здесь  $\rho_l$  — плотность жидкости,  $\nu$  и  $\chi$  — соответственно коэффициенты кинематической вязкости и температуропроводности жидкости).

Пренебрегая инжекцией электрического заряда, электрическими потерями и вязкой диссипацией [17], запишем безразмерную систему уравнений и граничных условий, характеризующих конвекцию

жидкого диэлектрика в постоянных гравитационном и электрическом и переменном тепловом полях:

$$\begin{aligned} & \left( \frac{\partial \mathbf{v}}{\partial t} + \frac{1}{P} (\mathbf{v} \nabla) \mathbf{v} \right) = \\ & = -\nabla p + \nabla^2 \mathbf{v} + \text{Ra} T \mathbf{e} + \text{Ge} \rho \mathbf{E}, \\ & \text{div } \mathbf{v} = 0, \\ & P \frac{\partial T}{\partial t} + (\mathbf{v} \nabla) T = \nabla^2 T, \\ & \frac{\partial \rho}{\partial t} + \frac{1}{\text{Pe}} \text{div}(\sigma \mathbf{E}) + \frac{1}{P} (\mathbf{v} \nabla) \rho = 0, \\ & \text{div } \mathbf{E} = \rho, \quad \mathbf{E} = -\nabla \varphi, \quad \mathbf{e} = (0, 0, 1), \\ & \sigma = 1 + ST, \\ & z = \pm 1: \quad \mathbf{v} = 0, \\ & T = \mp(\eta_1 + \eta_2 \cos \omega t), \quad \varphi = \mp 1. \end{aligned} \tag{2}$$

Здесь  $\mathbf{v}$  — скорость,  $p$  — давление,  $T$  — температура, отсчитываемая от некоторого среднего значения,  $\mathbf{E}$ ,  $\varphi$  — напряженность и потенциал электрического поля,  $\rho$  — плотность свободных зарядов.

В систему (2) входят следующие безразмерные параметры:

$$\begin{aligned} \text{Ra} &= g\beta\Theta h^3/\nu\chi, \quad \text{Ge} = \varepsilon U^2/\nu\chi\rho_l, \quad P = \nu/\chi, \\ \text{Pe} &= \varepsilon\nu/h^2\sigma_0, \quad \omega = \Omega h^2/\nu, \quad S = \beta_\sigma\Theta. \end{aligned} \tag{3}$$

Здесь  $\text{Ra}$  — число Рэлея ( $\beta$  — коэффициент теплового расширения жидкости),  $\text{Ge}$  — электрический аналог числа Галилея,  $P$  — число Прандтля,  $\text{Pe}$  — электрическое число Прандтля и  $\omega$  — безразмерная частота модуляции; параметр  $S$  характеризует степень неоднородности электропроводности. Для слабопроводящих жидкостей, в которых экспериментально наблюдаются электроконвективные явления,

$\beta_\sigma \approx 0.03-0.058 \text{ град}^{-1}$  [5, 7] и условие  $S < 1$  остается в силе, если разность температур не превышает 10 градусов. Теоретические исследования электротермической конвекции в постоянных электрических полях, использующие более сильное условие  $S \ll 1$ , находятся в хорошем согласии с экспериментом [5, 7].

Сформулированная задача допускает квазиравновесное решение, в котором жидкость покоится,

$$\mathbf{v}_0 = 0,$$

а остальные ее характеристики меняются во времени и пространстве:

$$T_0 = T_0(z, t), \quad p_0 = p_0(z, t),$$

$$\mathbf{E}_0 = (0, 0, E_0(z, t)), \quad \rho_0 = \rho_0(z, t).$$

Выражение для давления  $p_0$  не потребуется в явном виде. Нестационарное распределение температуры  $T_0(z, t)$  удовлетворяет одномерному уравнению теплопроводности и соответствующим граничным условиям:

$$\begin{aligned} \frac{\partial T_0}{\partial t} &= \frac{\partial^2 T_0}{\partial z^2}, \\ z = \pm 1: \quad T_0 &= \mp(\eta_1 + \eta_2 \cos \omega t). \end{aligned} \tag{4}$$

Распределение температуры в квазиравновесии определяется суперпозицией линейного профиля и двух тепловых волн, распространяющихся от границ внутрь жидкости:

$$\begin{aligned} T_0 &= -\eta_1 z - \eta_2 [T_s \sin \omega t + T_c \cos \omega t], \quad \kappa = \sqrt{\frac{P\omega}{2}}, \\ T_s &= \frac{\sin(\kappa(1+z)) \text{sh}(\kappa(1-z)) - \sin(\kappa(1-z)) \text{sh}(\kappa(1+z))}{\cos(2\kappa) - \text{ch}(2\kappa)}, \\ T_c &= \frac{\cos(\kappa(1+z)) \text{ch}(\kappa(1-z)) - \cos(\kappa(1-z)) \text{ch}(\kappa(1+z))}{\cos(2\kappa) - \text{ch}(2\kappa)}. \end{aligned} \tag{5}$$

Зная распределение температуры (5) и используя граничные условия для потенциала  $\varphi$ , можно найти распределение поля и свободных зарядов в покоящейся жидкости:

$$\begin{aligned} E_0 &= 1 + \eta_1 S z + \frac{\eta_2 S}{1 + \omega^2 \text{Pe}^2} ((T_s + \omega \text{Pe} T_c) \sin \omega t + ((T_c - \omega \text{Pe} T_s) \cos \omega t) + O(S^2)), \\ \rho_0 &= \eta_1 S + \frac{\eta_2 S}{1 + \omega^2 \text{Pe}^2} ((T_{sz} + \omega \text{Pe} T_{cz}) \sin \omega t + ((T_{cz} - \omega \text{Pe} T_{sz}) \cos \omega t) + O(S^2)), \\ T_{sz} &= \frac{\partial T_s}{\partial z}, \quad T_{cz} = \frac{\partial T_c}{\partial z}. \end{aligned} \tag{6}$$

Для исследования устойчивости основного состояния рассмотрим его малые возмущения. После исключения давления и горизонтальных компонент скорости представим возмущения вертикальной скорости  $v_z$ , температуры  $\vartheta$  и плотности заряда  $\rho$  в виде

$$\begin{aligned} v_z &= w(z, t) \exp [ikx], \quad \vartheta = \theta(z, t) \exp [ikx], \\ \rho &= \rho(z, t) \exp [ikx]. \end{aligned} \quad (7)$$

Здесь  $w, \theta, \rho$  — амплитуды,  $k$  — волновое число. Векторы  $\mathbf{E}_0$  и  $\nabla T_0$  направлены перпендикулярно границам, поэтому задача изотропна в плоскости слоя и ось  $x$  можно направить вдоль волнового вектора  $\mathbf{k}$ .

Квазиравновесное поле (6) представляет собой ряд

$$E_0 = E_{00} + SE_{01} + O(S^2).$$

Первое слагаемое  $E_{00}$  — внешнее поле, оно не зависит от  $S$  и характеризует поле между проводящими пластинами в отсутствие жидкости. Все остальные члены ряда  $SE_{01} + O(S^2)$  связаны с перераспределением заряда в жидкости

$$\rho_0 = S\rho_{01} + O(S^2),$$

возникающим благодаря неоднородной проводимости среды. Возмущения силы Кулона в связи с этим можно записать в виде

$$\mathbf{F}'_k = \text{Ge}(\mathbf{E}_{00}\rho' + S(\mathbf{E}_{01}\rho' + \mathbf{E}'\rho_{01})),$$

где  $\mathbf{E}'$ ,  $\rho'$  — возмущения поля и плотности заряда. Малость параметра  $S$  позволяет использовать безиндукционное электрогидродинамическое приближение, в котором пренебрегается электрическим полем, связанным с перераспределением заряда в жидкости, по сравнению с внешним полем [5]:

$$\mathbf{F}'_k = \text{Ge}\mathbf{E}_{00}\rho.$$

Подставляя возмущенные поля в систему (2) и проводя линеаризацию по возмущениям, получим амплитудную задачу:

$$\begin{aligned} \frac{\partial \Delta w}{\partial t} &= \Delta^2 w - \text{Rak}^2 \theta - Bk^2 \rho, \\ \text{P} \frac{\partial \theta}{\partial t} &= (\eta_1 + \eta_2(T_{cz} \cos \omega t + T_{sz} \sin \omega t)) w + \Delta \theta, \\ \text{Pe} \frac{\partial \rho}{\partial t} &= -\frac{\partial \theta}{\partial z} - \rho, \\ z = \pm 1: \quad w &= 0, \quad w' = 0, \quad \theta = 0, \end{aligned} \quad (8)$$

где

$$\Delta = \partial^2 / \partial z^2 - k^2.$$

Заметим, что несмотря на малость неоднородности электропроводности  $S$ , связанной с температурой,

электрический аналог числа Рэлея  $B = \text{Ge}S$  остается конечным (параметр  $\text{Ge}$  большой). Если  $\eta_2 \neq 0$ , система имеет периодические коэффициенты и возможно динамическое возбуждение или подавление электроконвекции.

Система уравнений вместе с граничными условиями (8) и условиями периодичности во времени для всех переменных определяют задачу на собственные значения для  $B$  или  $\text{Ra}$  как функции оставшихся параметров. Границы конвективной неустойчивости, определяемые условиями существования периодических решений системы (8), могут быть найдены с помощью классического метода Флоке.

### 3. МЕТОД РЕШЕНИЯ

Решение задачи (8) для модуляции произвольной частоты находилось с помощью метода Галеркина. Для аппроксимации возмущений используются наборы пространственных базисных функций с зависящими от времени коэффициентами:

$$\begin{aligned} w &= \sum_{m=0}^{M-1} a_m w_m, \quad \theta = \sum_{m=0}^{M-1} b_m \theta_m, \\ \rho &= \sum_{m=0}^{M-1} c_m \frac{\partial \theta_m}{\partial z}. \end{aligned} \quad (9)$$

Пространственные базисы конструировались из нормированных собственных функций амплитудной задачи для покоящегося слоя жидкости [18]. В качестве базисов для аппроксимации вертикальной скорости, температуры и плотности заряда использовались собственные функции задач четвертого и второго порядков:

$$\Delta^2 w_m = -\mu_m \Delta w_m, \quad w_m(\pm 1) = w'_m(\pm 1) = 0, \quad (10)$$

$$\Delta \theta_m = -P\nu_m \theta_m, \quad \theta_m(\pm 1) = 0. \quad (11)$$

Подставляя разложения (9) в систему (8) и проводя ортогонализацию по методу Галеркина, получим  $K = 3M$  обыкновенных дифференциальных уравнений для  $a_r, b_s$  и  $c_t$ :

$$\begin{aligned} \frac{\partial a_r}{\partial t} &= -\mu_r a_r + k^2 \sum_{m=0}^{M-1} [\text{Ra} E_{mr} b_m + B D_{rm} c_m], \\ P \frac{\partial b_s}{\partial t} &= \sum_{m=0}^{M-1} [\eta_1 E_{sm} + \eta_2 (S_{sm} \sin \omega t + C_{sm} \cos \omega t)] a_m - \\ &\quad - P \nu_s b_s, \\ \text{Pe} \frac{\partial c_t}{\partial t} &= -b_t - c_t, \quad r, s, t = 0, 1, \dots, M-1, \quad (12) \\ E_{mr} &= \int_{-1}^1 \theta_m w_r dz, \quad D_{rm} = \int_{-1}^1 w_r \theta'_m dz, \\ S_{sm} &= \int_{-1}^1 \theta_s T_{sz}(z) w_m dz, \\ C_{sm} &= \int_{-1}^1 \theta_s T_{cz}(z) w_m dz. \end{aligned}$$

Уравнения (12) могут быть записаны в форме

$$\begin{aligned} \frac{\partial u_i}{\partial t} &= L_{ij}(\omega t) u_j, \quad i, j = 1, \dots, 3M, \\ u(t) &= \begin{pmatrix} a_r \\ b_s \\ c_t \end{pmatrix}, \quad (13) \end{aligned}$$

где матрица  $L$ , составленная из коэффициентов при  $a_r$ ,  $b_s$  и  $c_t$  из (12), периодична с периодом  $2\pi/\omega$ ,  $u(t)$  —  $K$ -мерная векторная функция. Классическая теория Флоке [19] позволяет записать любое решение системы (13) в форме

$$u(t) = \gamma u_0(t) = e^{\lambda t} u_0(t) \quad (14)$$

с периодическим во времени ( $T = 2\pi/\omega$ ) вектором  $u_0(t)$  ( $\gamma$  — мультипликатор Флоке, а  $\lambda = \lambda_r + i\lambda_i$  — характеристические показатели, вообще говоря, комплексные числа). Для различных начальных условий

$$u_i^p(0) = \delta_{ip}, \quad p = 1, \dots, K,$$

получается  $K$  линейно независимых решений  $u_i^p(t)$ . Система (13) интегрируется методом Рунге–Кутты четвертого порядка. Фундаментальные решения, взятые в конце периода модуляции, составляют  $K$  колонок  $K \times K$ -матрицы монодромии, собственные значения которой и представляют собой мультипликаторы Флоке. Значения характеристических

показателей определяют устойчивость основного состояния квазиравновесия. Если упорядочить все  $\lambda$  так, что

$$\text{Re}(\lambda_1) \geq \text{Re}(\lambda_2) \geq \dots \geq \text{Re}(\lambda_K),$$

то основное состояние устойчиво в случае  $\text{Re}(\lambda_1) < 0$ . Условие  $\text{Re}(\lambda_1) = 0$  определяет область периодических решений в пространстве параметров  $B$ ,  $\eta_1$ ,  $\eta_2$ ,  $\text{Ra}$ ,  $P$ ,  $\text{Pe}$ ,  $\omega$  и  $k$ . При этом случай

$$\text{Re}(\lambda_1) = 0, \quad \text{Im}(\lambda_1) = \omega/2$$

соответствует субгармоническим возмущениям с периодом, вдвое превышающим период внешнего воздействия. Если

$$\text{Re}(\lambda_1) = 0, \quad \text{Im}(\lambda_1) = \omega,$$

нейтральные возмущения изменяются синхронно с вынуждающим воздействием, их периоды совпадают. Для пары комплексно-сопряженных собственных значений с единичным модулем,

$$\text{Re}(\lambda_1) = 0, \quad \text{Im}(\lambda_1) \neq 0,$$

имеем квазипериодические нейтральные возмущения. Для большинства найденных решений использовались 24 базисные функции ( $M = 8$ ). В проверочных расчетах, проведенных с 30 базисными функциями ( $M = 10$ ), пороги конвекции изменялись менее чем на 1%.

#### 4. НИЗКОЧАСТОТНЫЕ МОДУЛЯЦИИ

При малых частотах модуляции  $\omega$  период модуляции превышает все характерные времена системы:

$$T \gg \max \left[ \frac{h^2}{\nu}, \frac{h^2}{\chi}, \frac{\varepsilon}{\sigma} \right], \quad (15)$$

или в безразмерной форме:

$$\omega \ll \min [1, P^{-1}, \text{Pe}^{-1}]. \quad (16)$$

Поскольку время расчета растет пропорционально периоду модуляции  $T$ , применение численного метода в случае  $\omega \rightarrow 0$  нецелесообразно и можно использовать асимптотический метод Вентцеля–Крамерса–Бриллюэна [20] с малым параметром  $\omega$ .

После перенормировки времени  $\tau = \omega t$  используем матричную форму записи системы амплитудных уравнений:

$$\omega \frac{\partial}{\partial \tau} A u = N u \quad (17)$$

с векторной функцией

$$u = \begin{pmatrix} w \\ \theta \\ \rho \end{pmatrix},$$

с постоянным ( $A$ ) и  $2\pi$ -периодическим ( $N$ ) по  $\tau$  операторами:

$$A = \begin{pmatrix} \Delta & 0 & 0 \\ 0 & P & 0 \\ 0 & 0 & Pe \end{pmatrix},$$

$$N = \begin{pmatrix} \Delta^2 & -Rak^2 & -Bk^2 \\ f(t) & \Delta & 0 \\ 0 & -\frac{\partial}{\partial z} & -1 \end{pmatrix}, \tag{18}$$

$$f(\tau) = \eta_1 + \eta_2(T_{sz} \sin \tau + T_{cz} \cos \tau).$$

Используя малость  $\omega$ , разложим  $N$ ,  $B$  и решение  $u$  в ряды по  $\omega$ :

$$N = N_0 + \omega N_1 + \omega^2 N_2 + \dots,$$

$$B = B_0 + \omega B_1 + \omega^2 B_2 + \dots,$$

$$u = \exp \left[ \frac{1}{\omega} \int_0^\tau \lambda(\tau') d\tau' \right] (u_0 + \omega u_1 + \omega^2 u_2 + \dots),$$

$$\lambda = \lambda_0 + \omega \lambda_1 + \omega^2 \lambda_2 + \dots, \tag{19}$$

где  $\lambda$  — характеристический инкремент возмущений для случая медленного квазистатического изменения градиента температуры ( $2\pi$ -периодическая функция  $\tau$ ). Граница устойчивости по Флоке в нулевом по  $\omega$  порядке разложения находится из интегрального условия

$$\int_0^{2\pi} \lambda_{0r}(B_0, \cos \tau) d\tau = 0, \tag{20}$$

где  $\lambda_{0r}$  — действительная часть  $\lambda_0$ . Для решения в нулевом порядке задачи на собственные значения применялся метод Галеркина с базисом (9).

### 5. РЕЗУЛЬТАТЫ

Используемые в экспериментах слабопроводящие жидкости имеют достаточно высокие значения числа Прандтля  $P \geq 100$ . Электрическое число Прандтля  $Pe$  зависит не только от электрофизических параметров жидкости, но и от толщины слоя. В

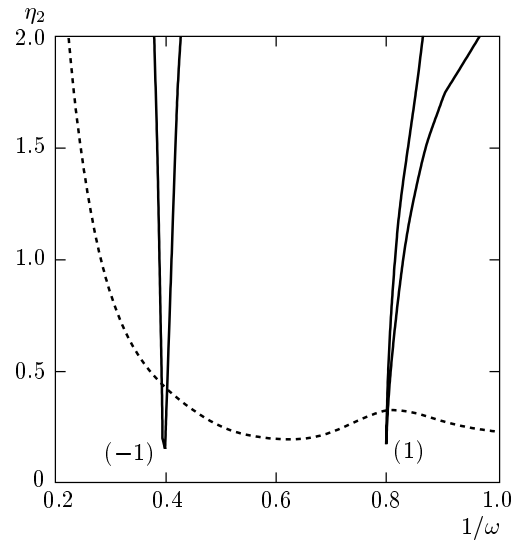
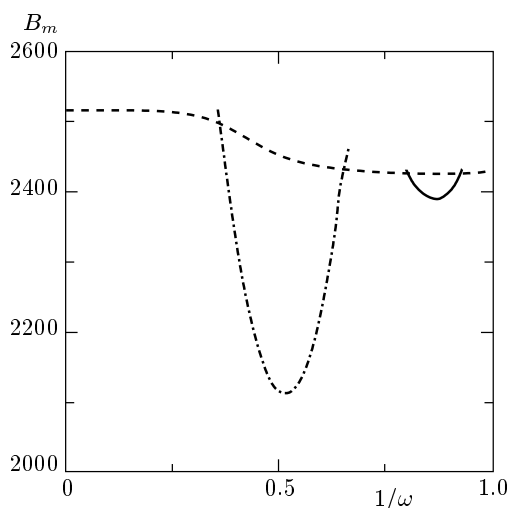


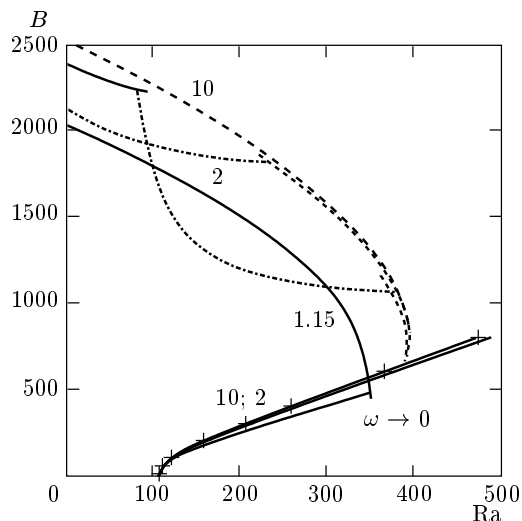
Рис. 1. Зависимость амплитуды модуляции  $\eta_2$  от обратной частоты  $1/\omega$  для  $Ra = 0$ . Волновое число фиксировано,  $k = 2.354$ . Без модуляции система устойчива. Сплошные линии — границы устойчивости для периодических возмущений, штриховые — границы устойчивости для квазипериодических режимов

качестве иллюстрации рассмотрим поведение жидкости с параметрами  $P = 100$ ,  $Pe = 0.04$ . Прежде всего обсудим возникновение конвекции в случае отсутствия гравитации ( $Ra = 0$ ). В постоянных электрическом и тепловом полях неустойчивость обусловлена электрокондуктивным механизмом и связана с колебательной модой. Порогу конвекции  $B_* = 2514.24$  соответствует критическое волновое число  $k = 2.354$  и частота  $\omega_0 = 1.256$ . Влияние модуляции температурного градиента на устойчивость квазиравновесия  $\eta_2 = f(1/\omega)$  для фиксированных значений  $k = 2.354$  и  $B = 2510$  представлено на рис. 1.

В отсутствие модуляции,  $\eta_2 = 0$  (ось абсцисс), квазиравновесие жидкости устойчиво. (Электрическое число Рэлея не превышает критического значения  $B < B_*$ .) Рост амплитуды модуляции приводит к появлению растущих возмущений. Тип критических возмущений зависит от частоты. Первая резонансная область («-1») соответствует субгармоническим по отношению ко внешнему воздействию возмущениям, ее минимум расположен на частоте  $\omega = 2.5 \approx 2\omega_0$  и соответствует амплитуде модуляции  $\eta_2 = 0.151$ . Область «+1» синхронных возмущений на частоте  $\omega = 1.254 \approx \omega_0$  имеет минимум  $\eta_2 = 0.170$ . Эффект дестабилизации для этой области более слабый. При умеренных амплитудах мо-



**Рис. 2.** Зависимость критического электрического числа Рэлея  $B_m$  от обратной частоты  $1/\omega$  для  $Ra = 0$ ;  $\eta_1 = 1$ ;  $\eta_2 = 1$ . Штрих-пунктирная линия — граница устойчивости для субгармонических возмущений, сплошная — для синхронных, штриховая линия то же, что и на рис. 1



**Рис. 3.** Карты устойчивости на плоскости  $(Ra, B)$  в модулированном поле для различных частот внешнего воздействия:  $\omega = 10$  (граница устойчивости для термогравитационной моды отмечена крестиками), 2, 1.15 и  $\omega \rightarrow 0$ . Штрих-пунктирные, штриховые и сплошные линии — то же, что и на рис. 2

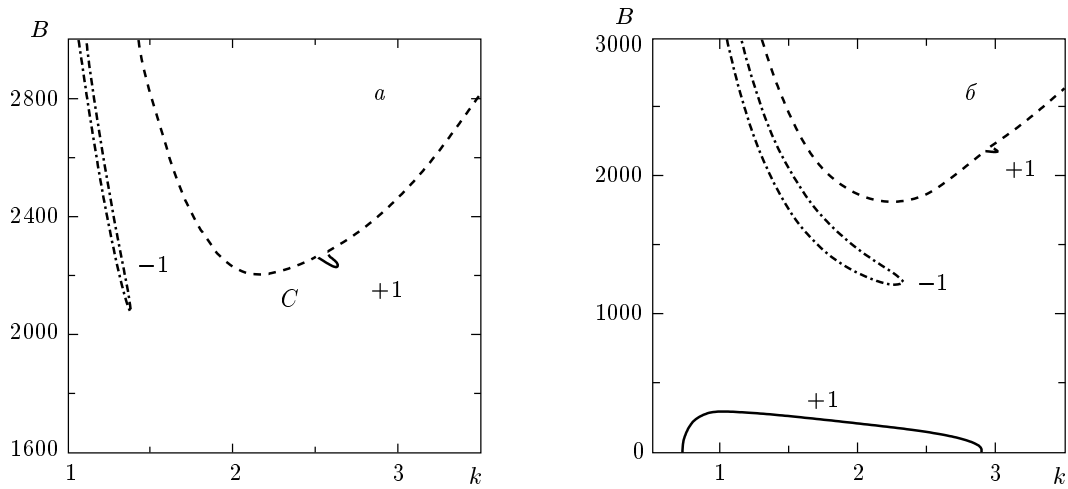
дуляции между областями синхронного и субгармонического откликов на внешнее поле расположены области критических квазипериодических возмущений.

Зависимость критического электрического числа Рэлея  $B_m$  от обратной частоты  $1/\omega$  представлена на рис. 2 ( $Ra = 0$ ,  $\eta_1 = 1$ ,  $\eta_2 = 1$ , проведена минимизация по волновому числу  $k$ ). Эффект параметрического возбуждения конвекции проявляется, когда частота внешнего поля связана с частотой колебательной моды в постоянном поле как  $2\omega_0/m$  с целым  $m$ . На рис. 2 изображены две первых области неустойчивости.

Рассмотрим электротермоконвективную неустойчивость в статическом поле тяжести. Поведение возмущений теперь должно рассматриваться с точки зрения полной системы амплитудных уравнений (8) с  $Ra \neq 0$ . Без электрического поля ( $B = 0$ ) критическое тепловое число Рэлея определяет начало конвекции при подогреве снизу,  $Ra_{m0} = 106.75$ , и соответствует термогравитационной монотонной моде [8] неустойчивости. Появление электрического поля и его рост приводят к стабилизации равновесия, конвекция наступает при больших значениях числа Рэлея. Кроме того, в электрическом поле благодаря действию специфического электрокондуктивного механизма неустойчивости появляется колебательная неустойчивость [5]. Модуляция поля изменяет

картину устойчивости. Зависимости критического электрического числа Рэлея  $B$  от  $Ra$  для нескольких значений частоты,  $\omega = 10, 2, 1.15$  и  $\omega \rightarrow 0$  в случае  $\eta_1 = 1$  и  $\eta_2 = 1$  представлены на рис. 3. Область устойчивости расположена между кривыми и осями координат. Для термогравитационной градиента температуры. Уменьшение частоты внешнего воздействия приводит к монотонному понижению границы гравитационной моды. Порог электрокондуктивной моды с уменьшением частоты изменяется немонотонно. Квазипериодические возмущения остаются критическими для достаточно больших частот модуляции ( $\omega = 10$ ).

На частоте близкой к удвоенной собственной частоте колебательной системы,  $\omega = 2 \approx 2\omega_0$ , в результате конкуренции двух типов колебаний на границе устойчивости появляется излом. Точка излома соответствует изменению характера нейтральных колебаний. Жидкость откликается синхронными колебаниями на изменение градиента температуры при  $0 < Ra < 80$  и субгармоническими при  $Ra > 80$ . На частоте  $\omega = 1.15$  граница устойчивости имеет изломы, соответствующие переходам между возмущениями разных типов, которые различаются как пространственным периодом, так и временным поведением. Для частоты  $\omega = 1.15$  параметрическое воздействие почти вдвое понижает порог устойчи-



**Рис. 4.** Нейтральные кривые электротермической конвективной неустойчивости  $B(k)$ ;  $\eta_1 = 1$ ;  $\eta_2 = 1$ ;  $\omega=2$ ;  $a$  — подкритический нагрев,  $Ra = 85$ ;  $b$  — надкритический нагрев,  $Ra = 200$ . Штрих-пунктирные, штриховые и сплошные линии то же, что и на рис. 2

вости при  $Ra \sim 150$ . Граница  $\omega \rightarrow 0$  рассчитана в низкочастотном пределе.

Нейтральные кривые  $B(k)$  для частоты  $\omega = 2$  представлены на рис. 4а, б для двух значений числа Рэлея. Граница неустойчивости состоит из нескольких частей, которые соответствуют различным типам нейтральных возмущений. Синхронный отклик наблюдается в областях «+1», субгармонический — в областях «-1», квазипериодический отклик — в области «С». При подкритическом нагреве,  $Ra = 85 < Ra_{m0}$  (рис. 4а), граница неустойчивости состоит из двух частей. Первая из них — нейтральная кривая для субгармонических возмущений, минимум этой кривой определяет критическое число Рэлея. Вторая часть нейтральной кривой в общем случае является квазипериодической. Однако в результате бифуркации в районе  $k = 2.52$  появляется область синхронных возмущений. При нагреве больше критического,  $Ra = 200 > Ra_{m0} = 106.7$ , топология нейтральных кривых изменяется (рис. 4б). Теперь  $B(k)$  становится многозначной функцией и имеет минимум и максимум. Область синхронных возмущений сдвигается вниз и расширяется. Около оси абсцисс появляется новая область синхронных возмущений, связанных с термогравитационной модой.

**6. ЗАКЛЮЧЕНИЕ**

В рамках уравнений электрогидродинамики рассмотрена проблема электроконвективной

неустойчивости слабопроводящей жидкости в постоянном электрическом поле плоского горизонтального конденсатора при ее нестационарном нагреве. Предполагается, что электропроводность жидкости линейно зависит от температуры, а физические свойства жидкости и электродов таковы, что можно пренебречь инъекцией зарядов и неоднородностью поляризации жидкости. Определены границы областей неустойчивости. Для случая невесомости получены зависимости амплитуды критической модуляции от частоты. При наличии силы тяжести происходит взаимодействие термогравитационного и электрокондуктивного механизмов неустойчивости. Рассмотрение проведено для числа Прандтля  $P = 100$ . При еще больших значениях числа Прандтля, характерных для изолирующих масел, собственная частота в немодулированном случае  $\omega_0$  понижается, однако основные черты параметрического возбуждения электрокондуктивной неустойчивости сохраняются: 1) присутствует конкуренция субгармонических, синхронных и квазипериодических возмущений; 2) первая область субгармонического отклика соответствует частоте  $\omega \approx 2\omega_0$ , а первая область синхронного отклика — частоте  $\omega \approx \omega_0$ .

Работа выполнена при финансовой поддержке РФФИ (проекты 98-01-00507, 01-01-00515).



## ЛИТЕРАТУРА

1. A. Castellanos, P. Atten, and M. G. Velarde, *Phys. Fluids* **27**, 1607 (1984).
2. P. H. Roberts, *J. Mech. Appl. Math.* **22**, 211 (1969).
3. M. Takashima and H. Hamabata, *J. Phys. Soc. Jap.* **53**, 1728 (1984).
4. R. J. Turnbull, *Phys. Fluids* **11**, 2597 (1968).
5. Ch. O. Lee, in *Proc. 5th Int. Heat Transfer Conf. Tokio* **3**, 173 (1974).
6. R. J. Turnbull, *Phys. Fluids* **11**, 2588 (1968).
7. С. А. Жданов, С. Р. Косвинцев, И. Ю. Макарихин, *ЖЭТФ* **117**, 398 (2000).
8. Г. З. Гершуни, Е. М. Жуховицкий, *Конвективная устойчивость несжимаемой жидкости*, Наука, Москва (1972).
9. G. Ahlers, P. C. Hohenberg, and M. Lücke, *Phys. Rev. A* **32**, 3493 (1985).
10. П. Л. Капица, *ЖЭТФ* **21**, 588 (1951).
11. G. Venezian, *J. Fluid Mech.* **35**, 243 (1969).
12. C. S. Yin and C. H. Li, *J. Fluid Mech.* **54**, 143 (1972).
13. B. L. Smorodin, G. Z. Gershuni, and M. G. Velarde, *Int. J. Heat Mass Transfer* **42**, 3159 (1999).
14. B. L. Smorodin and M. G. Velarde, *J. Electrostat.* **50**(3), 13 (2001).
15. B. L. Smorodin and M. G. Velarde, *J. Electrostat.* **48**, 261 (2000).
16. Л. Д. Ландау, Е. М. Лифшиц, *Электродинамика сплошных сред*, Наука, Москва (1982).
17. М. К. Болога, Ф. П. Гросу, И. А. Кожухарь, *Электроконвекция и теплообмен*, Штиинца, Кишинев (1977).
18. Г. И. Петров, *ПММ* **4**, 3 (1940).
19. E. A. Coddington and N. Levinson, *Theory of Ordinary Differential Equations*, McGraw-Hill, New York (1955).
20. Л. Д. Ландау, Е. М. Лифшиц, *Квантовая механика*, Наука, Москва (1989).